

Рис. 5. Муцинозный рак. HER2 — слабое, едва заметное неполное мембранное окрашивание менее 10 % опухолевых клеток, 0 баллов, ув. 10

Fig. 5. Mucinous carcinoma. a. HER2 — Weak, barely detectable incomplete membrane staining in < 10 % of tumor cells (score 0, × 10)

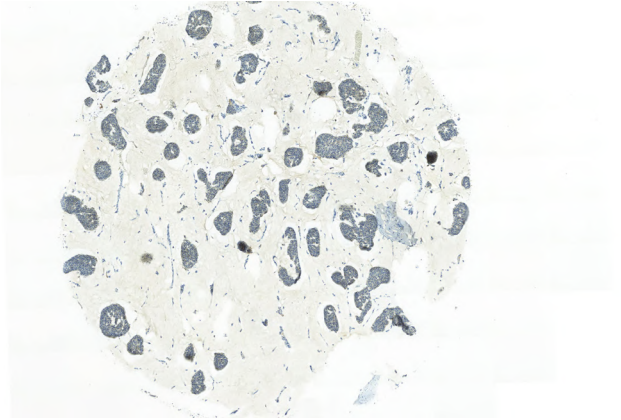


Рис. 6. Муцинозный рак. HER2 — слабое, едва заметное неполное мембранное окрашивание менее 10 % опухолевых клеток, 0 баллов, ув. 40

Fig. 6. Mucinous carcinoma. a. HER2 — Weak, barely detectable incomplete membrane staining in < 10 % of tumor cells (score 0, × 40)

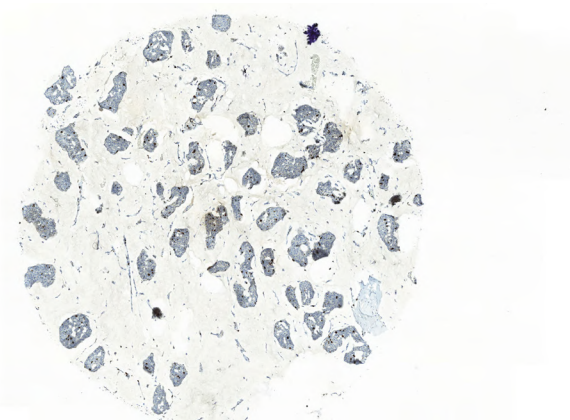


Рис. 7. Муцинозный рак. Ki-67 — ядерная экспрессия менее чем в 5 % опухолевых клеток, ув. 10

Fig. 7. Mucinous carcinoma. a. Ki-67 — Nuclear expression in < 5 % of tumor cells (× 10)

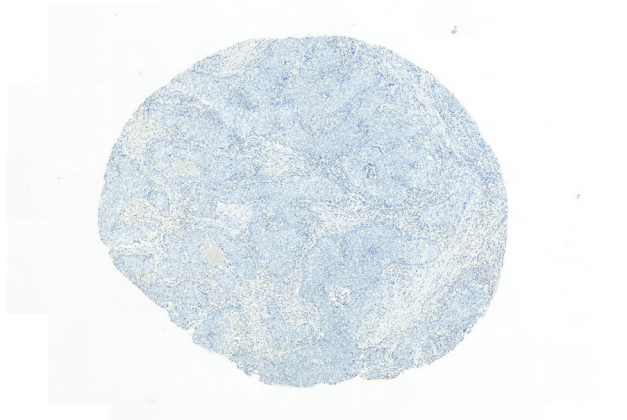


Рис. 8. Медуллярный рак. HER2 — отсутствие мембранного окрашивания опухолевых клеток, 0 баллов, ув. 10

Fig. 8. Medullary carcinoma. a. HER2 — Negative membrane staining (score 0, × 10)

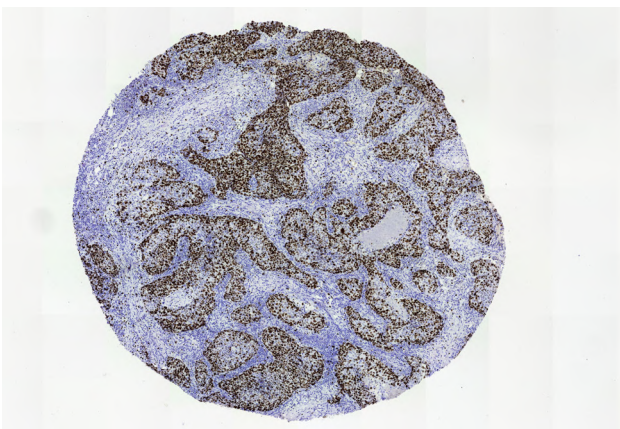


Рис. 9. Медуллярный рак. Ki-67 — ядерная экспрессия в 90 % опухолевых клеток, ув. 10

Fig. 9. Medullary carcinoma. a. Ki-67 — High nuclear expression (90 % of tumor cells, × 10)

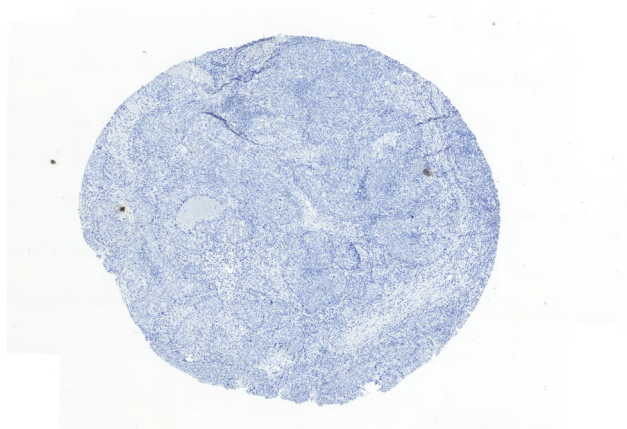


Рис. 10. Медуллярный рак. CK 5/6 — отсутствие окрашивания, ув. 10

Fig. 10. Medullary carcinoma. a. CK5/6 — Negative staining (× 10)

Рис. 11. Апокринный рак. HER2 — умеренное полное мембранное окрашивание более 10 % опухолевых клеток, 2 балла, ув. 10

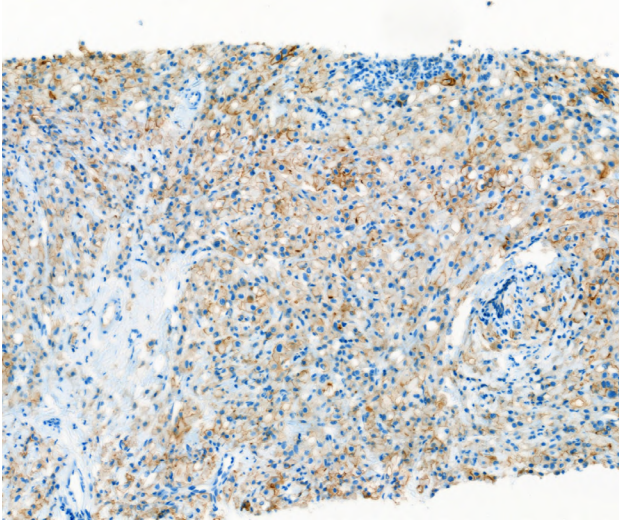


Fig. 11. Apocrine carcinoma. a. HER2 — Moderate complete membrane staining (> 10 % of tumor cells, score 2, ×10)

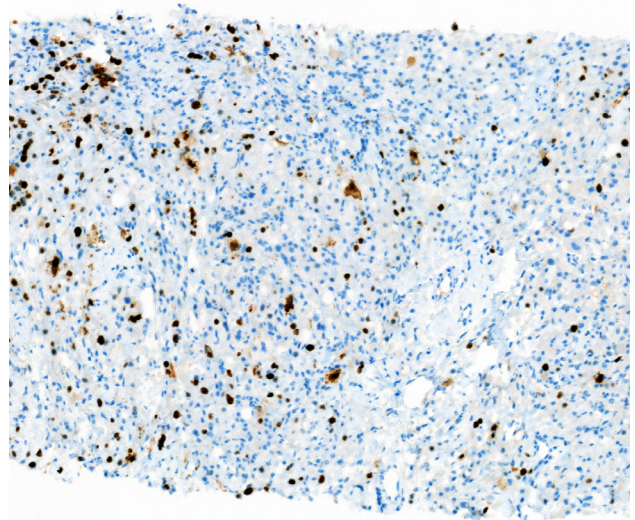


Рис. 12. Апокринный рак. Ki-67 — ядерная экспрессия менее чем в 10 % опухолевых клеток, ув. 10

Fig. 12. Apocrine carcinoma. a. Ki-67 — Low nuclear expression (< 10 % of tumor cells, ×10)

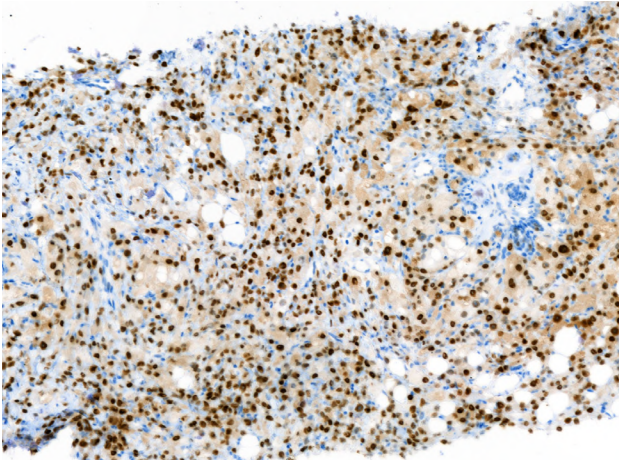


Рис. 13. Апокринный рак. Рецепторы андрогенов — выраженная ядерная экспрессия в отдельных опухолевых клетках, ув. 10
Fig. 13. Apocrine carcinoma. a. AR — Strong nuclear expression in tumor cells (×10)

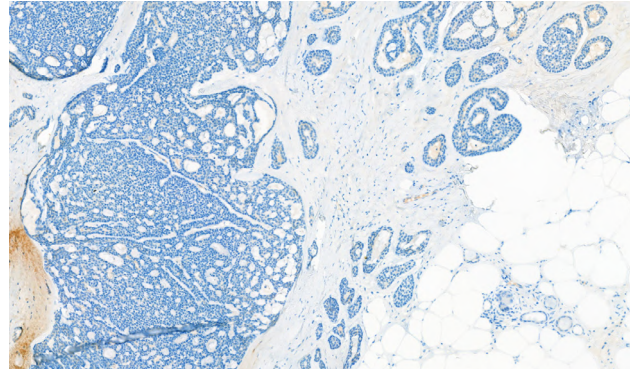


Рис. 14. Аденокистозный рак. HER2 — отсутствие мембранного окрашивания, 0 баллов, ув. 10

Fig. 14. Adenoid cystic carcinoma. a. HER2 — Negative membrane staining (score 0, ×10)

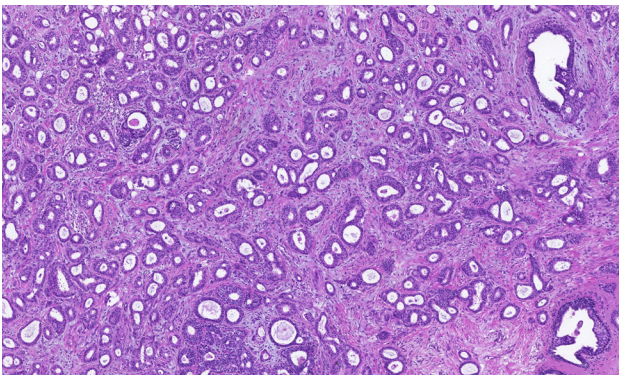


Рис. 15. Тубулярный рак. Гематоксилин-эозин — тубулярные структуры с однослойным неопластическим эпителием и открытыми просветами; миоэпителиальные клетки отсутствуют, ув. 10

Fig. 15. Tubular carcinoma. a. H&E — Tubular structures with single-layer neoplastic epithelium and open lumina; absent myoepithelial cells (×10)



Рис. 16. Тубулярный рак. Рецепторы эстрогенов — выраженная ядерная экспрессия, ув. 10

Fig. 16. Tubular carcinoma. a. ER — Strong nuclear expression (×10)

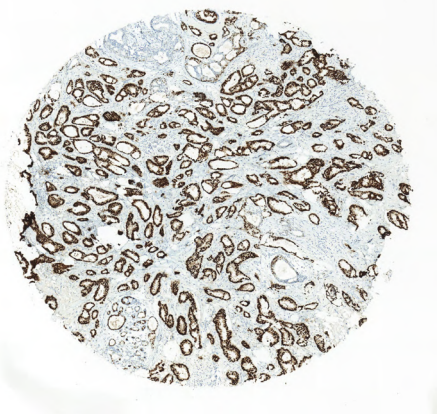


Рис. 17. Тубулярный рак. Рецепторы прогестерона — выраженная ядерная экспрессия, ув. 10
Fig. 17. Tubular carcinoma. a. PR — Strong nuclear expression ($\times 10$)

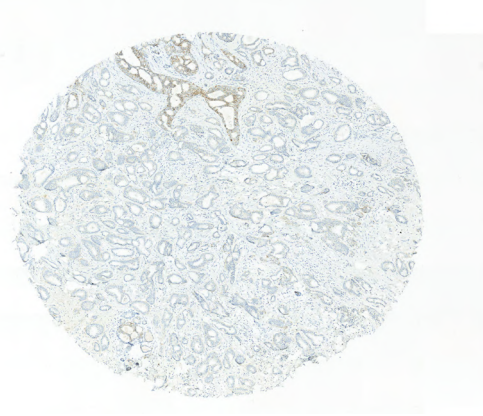


Рис. 18. Тубулярный рак. HER2 — слабое, едва заметное неполное мембранное окрашивание более 10 % опухолевых клеток, 1 балл, ув. 10
Fig. 18. Tubular carcinoma. a. HER2 — Weak incomplete membrane staining ($> 10\%$ of tumor cells, score 1, $\times 10$)

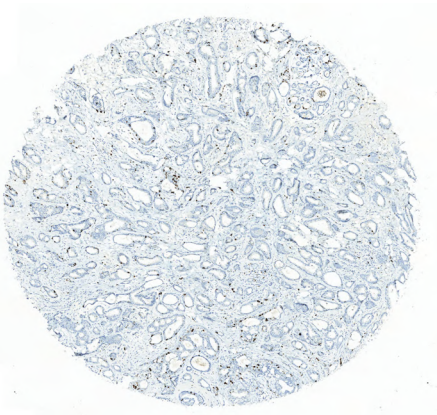


Рис. 19. Тубулярный рак. Ki67 — ядерная экспрессия менее чем в 5 % опухолевых клеток, ув. 10
Fig. 19. Tubular carcinoma. a. Ki-67 — Low nuclear expression ($< 5\%$ of tumor cells, $\times 10$)

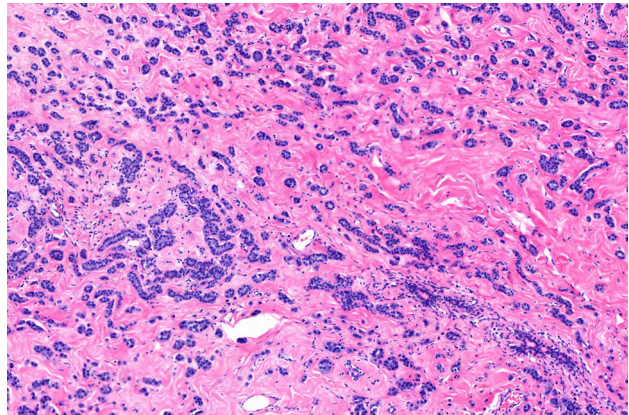


Рис. 20. Микрожелезистый аденоз. Гематоксилин-эозин — лобулоцентричный характер роста мелких округлых желез, ув. 10.
Fig. 20. Microglandular adenosis. a. H&E — Lobulocentric growth pattern of small round glands ($\times 10$)

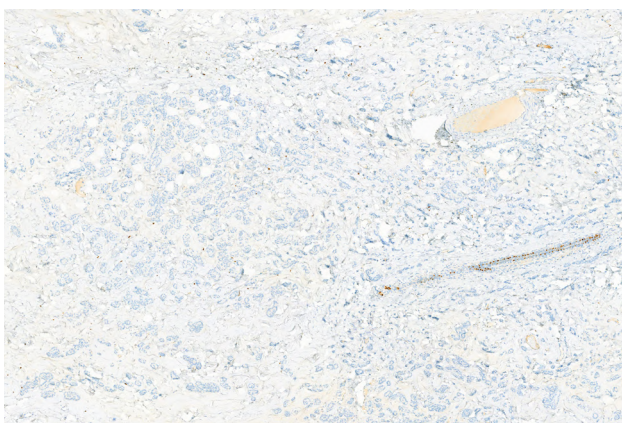


Рис. 21. Микрожелезистый аденоз. Рецепторы эстрогенов — отсутствие ядерной экспрессии, ув. 10
Fig. 21. Microglandular adenosis. a. ER — Negative nuclear expression ($\times 10$)

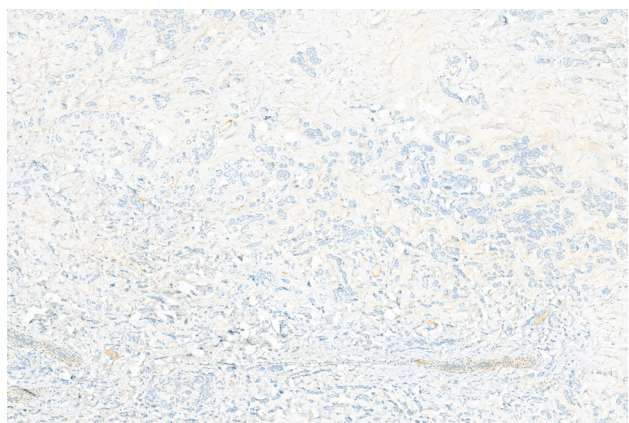


Рис. 22. Микрожелезистый аденоз. Рецепторы прогестерона — отсутствие ядерной экспрессии, ув. 10
Fig. 22. Microglandular adenosis. a. PR — Negative nuclear expression ($\times 10$)

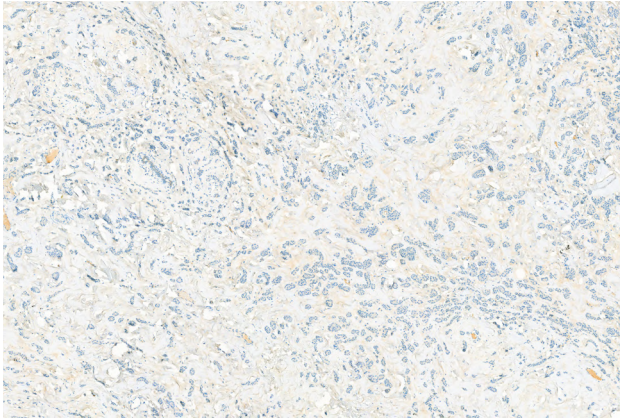


Рис. 23. Микрожелезистый аденоз. HER2 — отсутствие мембранного окрашивания, 0 баллов ув. 10.
Fig. 23. Microglandular adenosis. a. HER2 — Negative membrane staining (score 0, × 10)

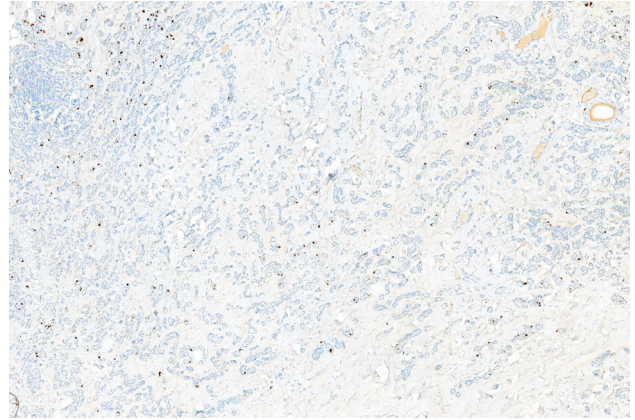


Рис. 24. Микрожелезистый аденоз. Ki67 — ядерная экспрессия менее чем в 5 % опухолевых клеток, ув. 10
Fig. 24. Microglandular adenosis. a. Ki-67 — Low proliferative activity (< 5 % of tumor cells, ×10)

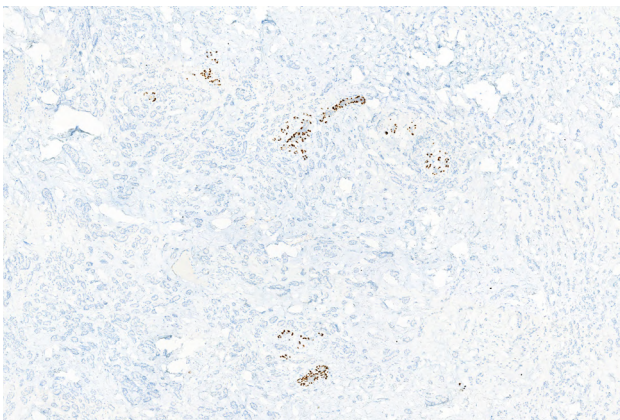


Рис. 25. Микрожелезистый аденоз. p63 — отсутствие ядерной экспрессии, ув. 10
Fig. 25. Microglandular adenosis. a. p63 — Negative nuclear expression (× 10)

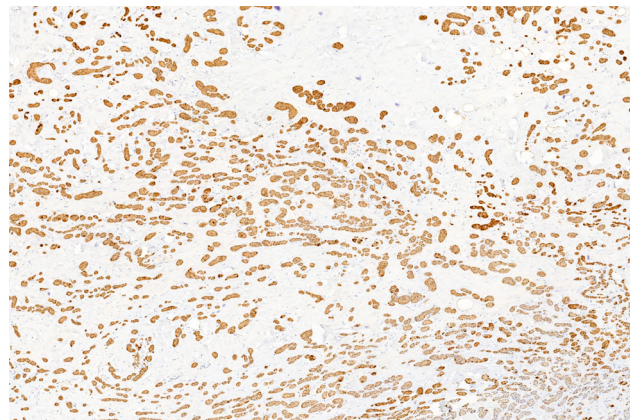


Рис. 26. Микрожелезистый аденоз. S100 — выраженное диффузное цитоплазматическое окрашивание опухолевых клеток, ув. 10
Fig. 26. Microglandular adenosis. a. S100 — Strong diffuse cytoplasmic staining (× 10)

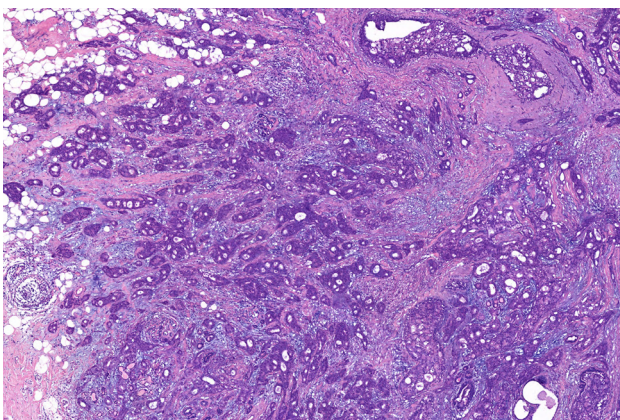


Рис. 27. Инвазивная крибровая карцинома. Гематоксилин-эозин — округлые островки эпителиальных клеток с центральными «выколотыми» областями, лишенные миоэпителиальных клеток, ув. 10
Fig. 27. Invasive cribriform carcinoma. a. H&E — Rounded islands of epithelial cells with central “punched-out” areas, lacking myoepithelial cells (× 10)

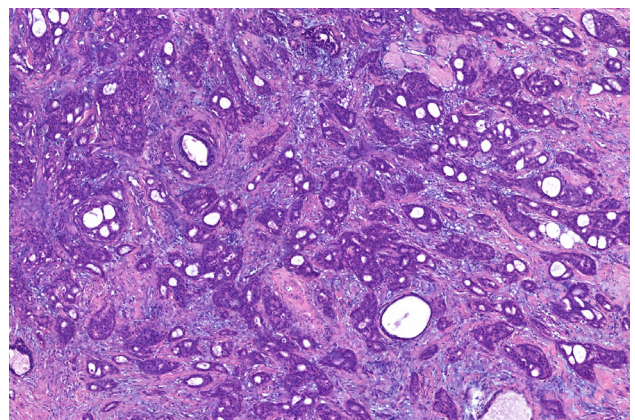


Рис. 28. Инвазивная крибровая карцинома. Гематоксилин-эозин — округлые островки эпителиальных клеток с центральными «выколотыми» областями, лишенные миоэпителиальных клеток, ув. 20
Fig. 28. Invasive cribriform carcinoma. a. H&E — Rounded islands of epithelial cells with central “punched-out” areas, lacking myoepithelial cells (× 20)

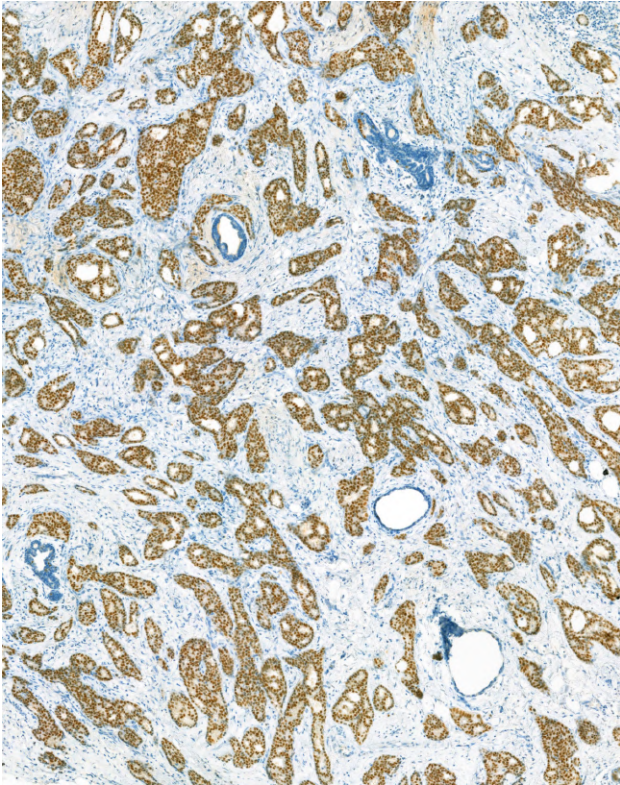


Рис. 29. Инвазивная крибозная карцинома. Рецепторы эстрогенов — выраженная ядерная экспрессия, ув. 10
 Fig. 29. Invasive cribriform carcinoma. a. ER — Strong nuclear expression (× 10)

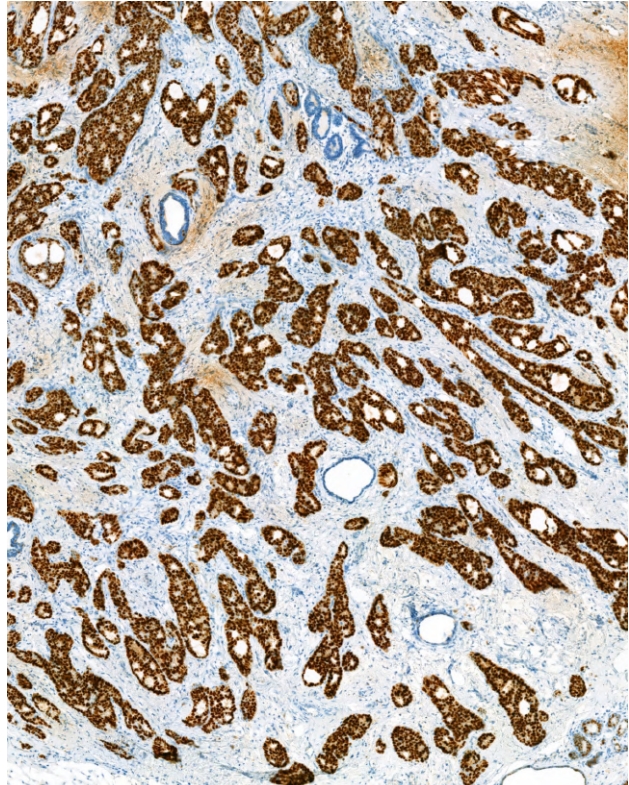


Рис. 30. Инвазивная крибозная карцинома. Рецепторы прогестерона — выраженная ядерная экспрессия, ув. 10
 Fig. 30. Invasive cribriform carcinoma. a. PR — Strong nuclear expression (× 10)

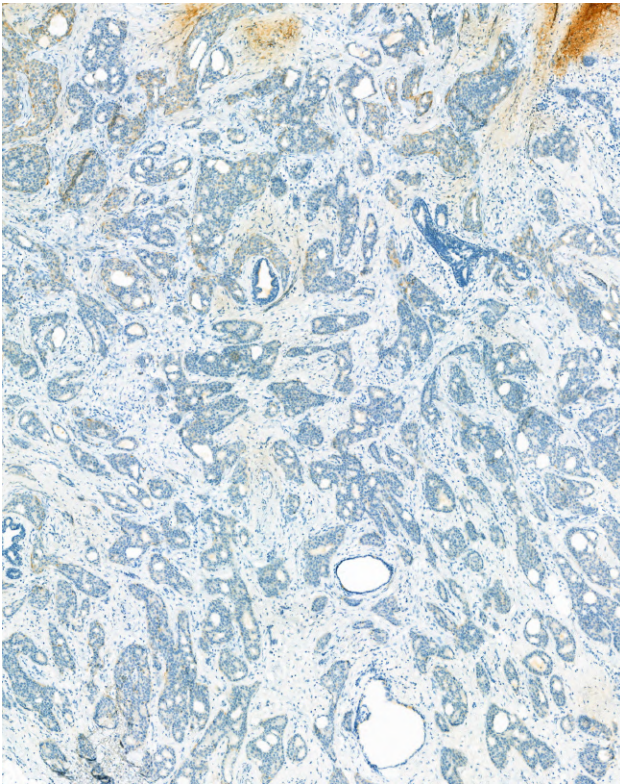


Рис. 31. Инвазивная крибозная карцинома. HER2 — слабое, едва заметное неполное мембранное окрашивание менее 10 % опухолевых клеток, 0 баллов, ув. 10
 Fig. 31. Invasive cribriform carcinoma. a. HER2 — Weak incomplete membrane staining (< 10 % of tumor cells, score 0, ×10)

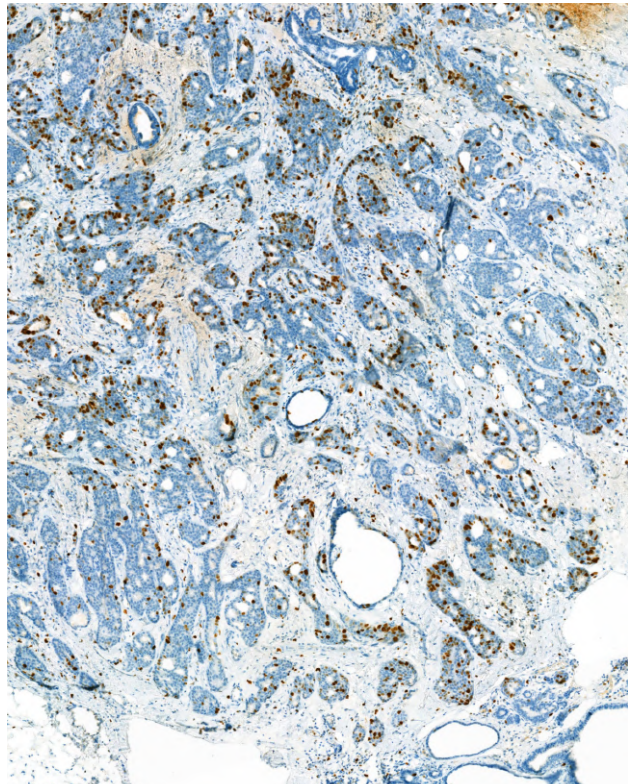


Рис. 32. Инвазивная крибозная карцинома. Ki67 — ядерная экспрессия в 10 % опухолевых клеток, ув. 10
 Fig. 32. Invasive cribriform carcinoma. a. Ki-67 — Nuclear expression in 10 % of tumor cells (×10)

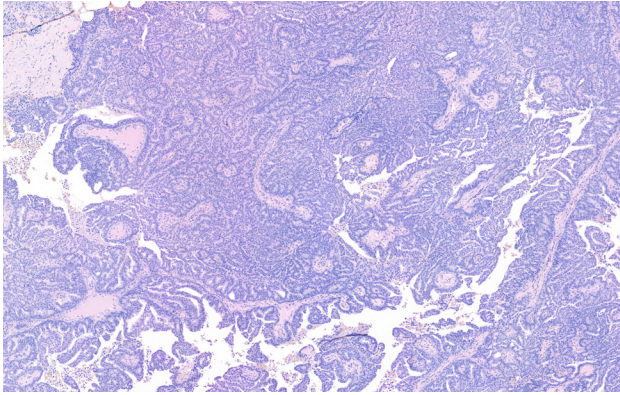


Рис. 33. Инвазивная папиллярная карцинома. Гематоксилин-эозин — расширенные протоки, содержащие папиллярные структуры с фиброваскулярными основаниями; миоэпителиальные клетки отсутствуют, ув. 10
 Fig. 33. Invasive papillary carcinoma. a. H&E — Dilated ducts containing papillary structures with fibrovascular cores; absent myoepithelial cells (× 10)



Рис. 34. Инвазивная папиллярная карцинома. Рецепторы эстрогенов — выраженная ядерная экспрессия, ув. 10
 Fig. 34. Invasive papillary carcinoma. a. ER — Strong nuclear expression (×10)

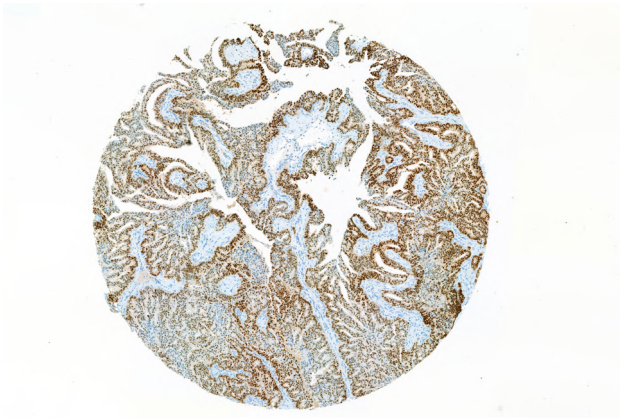


Рис. 35. Инвазивная папиллярная карцинома. Рецепторы прогестерона — выраженная ядерная экспрессия, ув. 10
 Fig. 35. Invasive papillary carcinoma. a. PR — Strong nuclear expression (× 10)

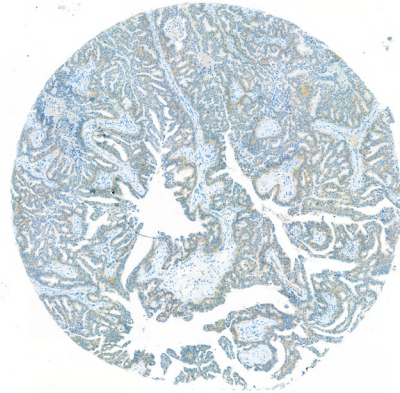


Рис. 36. Инвазивная папиллярная карцинома. HER2 — слабое, едва заметное неполное мембранное окрашивание более 10 % опухолевых клеток, 1 балл, ув. 10
 Fig. 36. Invasive papillary carcinoma. a. HER2 — Weak incomplete membrane staining (> 10 % of tumor cells, score 1, × 10)

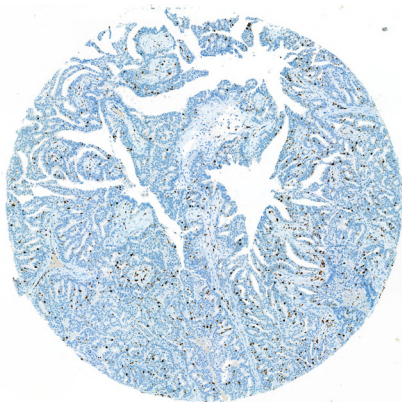


Рис. 37. Инвазивная папиллярная карцинома. Ki-67 — ядерная экспрессия менее чем в 5 % опухолевых клеток, ув. 10
 Fig. 37. Invasive papillary carcinoma. a. Ki-67 — Low nuclear expression (< 5 % of tumor cells, × 10)

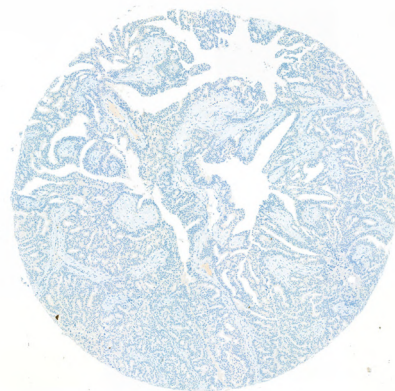


Рис. 38. Инвазивная папиллярная карцинома. Цитокератин 5/6 — отсутствие окрашивания, ув. 10
 Fig. 38. Invasive papillary carcinoma. a. CK5/6 — Negative staining (×10)

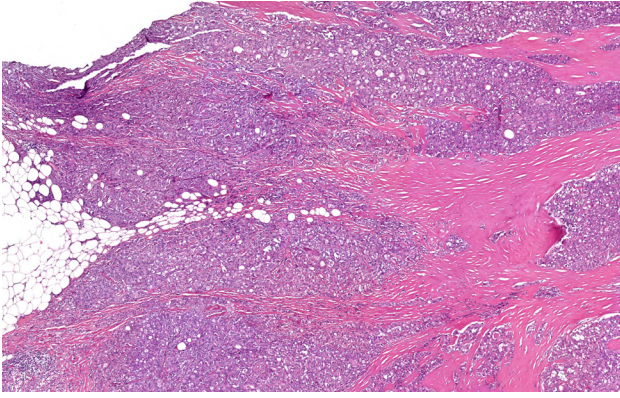


Рис. 39. Секреторный рак. Гематоксилин-эозин — клетки с неяркими признаками атипии с внутриклеточным и внеклеточным секреторным материалом формируют характерный «сотовый» рисунок, ув. 10
 Fig. 39. Secretory carcinoma. a. H&E — Cells with mild atypia and intracellular/extracellular secretory material forming characteristic “honeycomb” pattern (× 10)

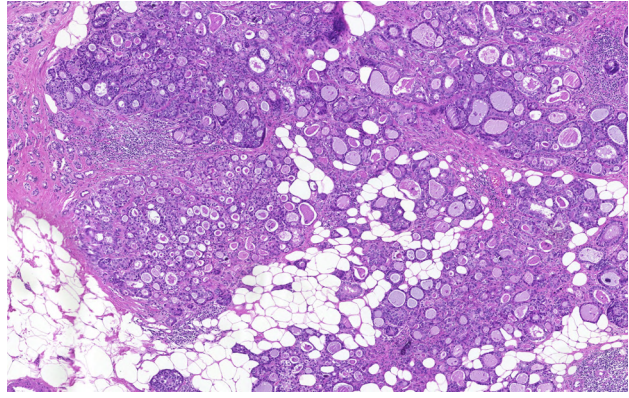


Рис. 40. Секреторный рак. Гематоксилин-эозин — клетки с неяркими признаками атипии с внутриклеточным и внеклеточным секреторным материалом формируют характерный «сотовый» рисунок, ув. 20
 Fig. 40. Secretory carcinoma. a. H&E — Cells with mild atypia and intracellular/extracellular secretory material forming characteristic “honeycomb” pattern (× 20)

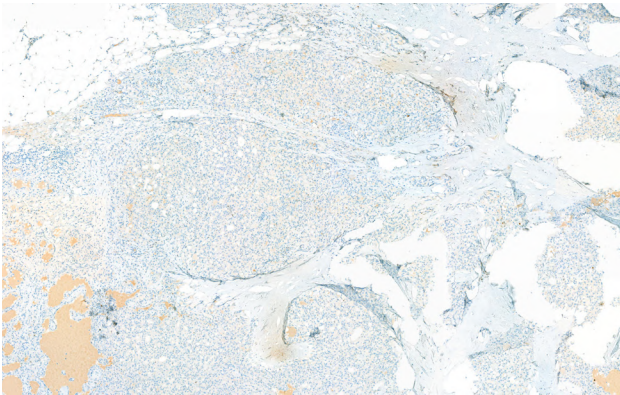


Рис. 41. Секреторный рак. Рецепторы эстрогенов — отсутствие ядерной экспрессии, ув. 10
 Fig. 41. Secretory carcinoma. a. ER — Negative nuclear expression (×10)

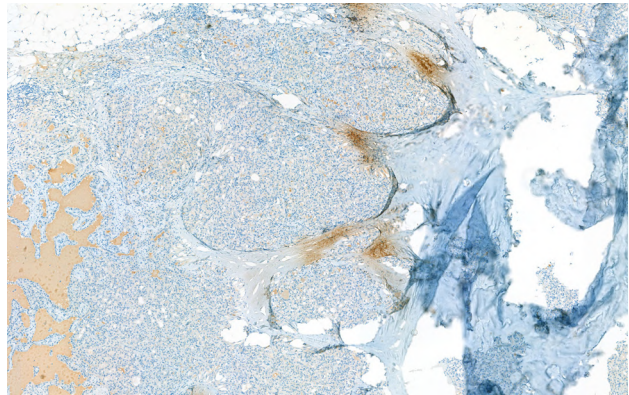


Рис. 42. Секреторный рак. Рецепторы прогестерона — отсутствие ядерной экспрессии, ув. 10
 Fig. 42. Secretory carcinoma. a. PR — Negative nuclear expression (×10)

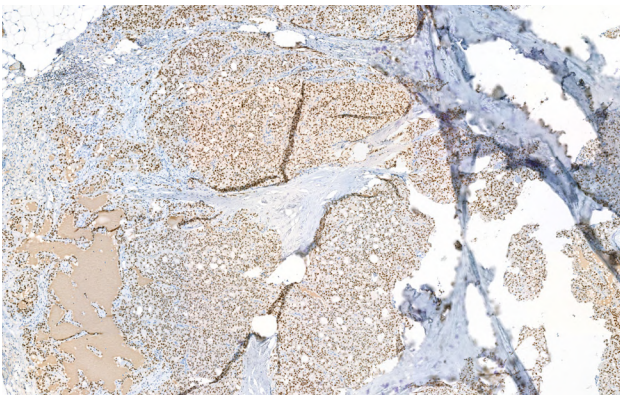


Рис. 43. Секреторный рак. GATA3 — выраженная ядерная экспрессия, ув. 10
 Fig. 43. Secretory carcinoma. a. GATA3 — Strong nuclear expression (×10)

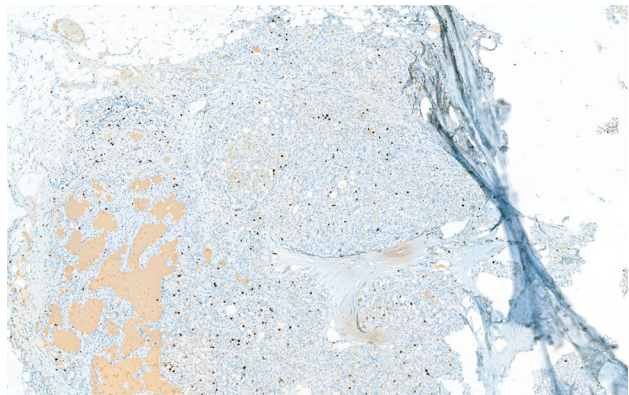


Рис. 44. Секреторный рак. Ki67 — ядерная экспрессия менее чем в 5 % опухолевых клеток, ув. 10
 Fig. 44. Secretory carcinoma. a. Ki-67 — Low proliferative activity (< 5 % of tumor cells, ×10)

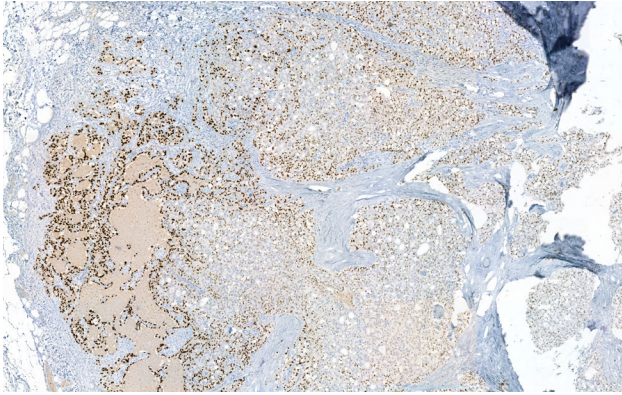


Рис. 45. Секреторный рак. panTRK — выраженная ядерная экспрессия, ув. 10
Fig. 45. Secretory carcinoma. a. pan-TRK — Strong nuclear expression ($\times 10$)